



دانشگاه
برنامه‌ریزی

تژنش‌های محیطی در علوم زراعی

Environmental Stresses in Crop Sciences

جلد چهاردهم، شماره سوم، پائیز ۱۴۰۰

۷۷۱-۷۸۱

<http://dx.doi.org/10.22077/escs.2020.3163.1808>

مقاله پژوهشی

مکان‌یابی ژن‌های کنترل کننده متابولیت‌های ثانویه در جو (*Hordeum vulgare L.*) تحت شرایط تنش شوری

سمیه مختاروم^۱، حسین صبوری^{۲*}، عبداللطیف قلیزاده^۳، لیلا آهنگر^۳، مهناز کاتوزی^۳، ابراهیم غلامعلی پورعلمداری^۳

۱. دانشجوی ارشد بیوتکنولوژی، گروه تولیدات گیاهی، دانشکده علوم کشاورزی و منابع طبیعی، دانشگاه گنبد کاووس

۲. دانشیار گروه تولیدات گیاهی، دانشکده علوم کشاورزی و منابع طبیعی، دانشگاه گنبد کاووس

۳. استادیار گروه تولیدات گیاهی، دانشکده علوم کشاورزی و منابع طبیعی، دانشگاه گنبد کاووس

۴. گروه اصلاح نباتات موسسه تحقیقات اگرواسکوپ سوئیس

تاریخ دریافت: ۹۸/۱۱/۲۰؛ تاریخ پذیرش: ۹۹/۰۱/۱۵

چکیده

به منظور رדיابی مکان‌های ژنی کنترل کننده متابولیت‌های ثانویه گیاه جو در مرحله زایشی تحت تنش شوری از ۱۰۶ خانواده F8 حاصل از تلاقی دو رقم بادیا^xکویر در سال ۱۳۹۷-۹۸ استفاده شد. برای شناسایی QTL‌های کنترل کننده و برآورد اثر این ۱۰۶ آن‌ها، از چهار روش نقشه‌یابی STPLM، STMIM، JCIM، CIM استفاده شد. نقشه بیوستگی با استفاده از ۱۵۲ نشانگر چند شکل ۷۲ آل ISSR، ۷ آل IRAP، ۲۹ آل CAAT، ۲۷ آل iPBS و ۱۵ آل Scot تهیه شد. نشانگرهای مولکولی استفاده شده روی ۳/۳۸۷ سانتی‌مورگان شد. سه ناحیه مهم (کروموزوم یک در مکان ۲۶ سانتی‌مورگان، کروموزوم ۳ در مکان ۴۴ سانتی‌مورگان و در کروموزوم ۴ مکان ۱۱۸ سانتی‌مورگان از تلومر انتهایی کروموزوم‌ها) با کلیه روش‌های مکان‌یابی برای صفات ارزیابی شده حاوی ژن‌های کمی مهم تشخیص داده شدند. از بین QTL‌های شناسایی شده ۴ qSUG-4 (برای محنتی قند روی کروموزوم ۴) با ضریب تبیین ۲۰/۲ و ۲۰/۱ qPHE-1 و qPHE-2 (برای محتوای فنول روی کروموزوم‌های ۱ و ۲) به ترتیب با ضریب تبیین ۲۹/۱، ۲۱/۳ و qPER-7، qPER-5، qPER-4b، qPER-1 (برای پروکسیداز روی کروموزوم‌های ۴، ۱، ۵ و ۷) با اثرات تأثیرگذار شناسایی شدند و پس از تائید اعتبار، کاندید مناسبی برای برنامه‌های اصلاحی انتخاب به کمک نشانگر در جمعیت‌های جو خواهد بود.

واژه‌های کلیدی: جو (*Hordeum vulgare L.*), تنش شوری، متابولیت‌های ثانویه، QTL

مقدمه

یکی از موانع جدی در تولید محصولات مهم کشاورزی، شوری خاک است. بیش از ۲۰ درصد زمین‌های تحت کشت دنیا شور هستند (Zhu, 2001) و هرساله نیز در اثر شرایط تشدید کننده و نامساعد، به سطح و میزان شوری زمین‌های کشاورزی افزوده می‌شود. یکی از راههای مؤثر برای مقابله با مشکلات ناشی از افزایش شوری خاک و آب، تولید ارقامی با سطح بالای تحمل شوری است (Jafari et al, 2013).

جو (*Hordeum vulgare L.*) با سطح زیر کشت ۱/۶۵ میلیون هکتار و تولید ۳/۴ میلیون تن یکی از گیاهان مهم زراعی است (FAO, 2008). آمار منتشر شده توسط وزارت جهاد کشاورزی ایران نشان می‌دهد که سطح زیر کشت جو آبی در مناطق سرد کشور در سال زراعی ۱۳۹۷-۱۳۹۸ برابر ۲۵۳۳۸ هزار هکتار با تولید ۷۰۳۱۱ هزار تن و میانگین عملکرد ۲۴۸۱ کیلوگرم در هکتار است (Ahmadi et al, 2019).

ارزیابی ویژگی‌های مورفولوژیک و فنولوژیک جو برای تعیین اهمیت هر یک از آن‌ها در افزایش عملکرد و استفاده در برنامه‌های بهنژادی از اهمیت خاصی برخوردار هستند. اکثر صفات مهم، دارای کنترل ژنتیکی پیچیده‌ای بوده و توسط تعداد زیادی ژن کنترل می‌شوند که با محیط واکنش نشان می‌دهد و به همین دلیل پیش‌بینی عملکرد آن‌ها تا حدودی دشوار است. این صفات کمی دارای توزیع پیوسته بوده و قابل اندازه‌گیری هستند. Khalili and Mohammadian (Mohammadian, 2015) QTL‌های مرتبط با تنفس شوری را در ۷۲ لاین هاپلوجید مضاعف شده در مراحل جوانه‌زنی شناسایی نمودند. در بررسی ایشان، ۴۷ عدد QTL شناسایی شد و اثرات اپیستازی افزایشی × افزایشی نیز معنی‌دار شدند. در صد توجیه واریانس QTL‌های مذکور از ۲۹/۹۷ تا ۷۷/۱۵ بود که کمترین و بیشترین آن به ترتیب برای درصد جوانه‌زنی در تنفس ۲۰۰ میلی‌مولاًر بود و سرعت جوانه‌زنی در شرایط نرمال بود. بیشترین LOD=۸/۲۷ روی کروموزوم 4Hb برای همکاران (Barati et al., 2013) برای مکان‌یابی QTL‌های مرتبط با عملکرد در جو (169 لاین نوترکیب جو از تلاقی ارقام ایگری × آریگاشر) نشان دادند که در بین صفات موردمطالعه صفت وزن هزار دانه با بیشترین وراشت‌پذیری عمده‌تاً توسط اثرات افزایشی کنترل می‌شود. براتی و همکاران (Barati et al., 2013) از نشانگرهای AFLP و SSR برای تهیه نقشه پیوستگی ۴ کروموزوم در جو نقشه‌یابی شد. برای کلیه صفات اندازه‌گیری شده از جمعیت لاین‌های نوترکیب، دو QTL روی گروه‌های پیوستگی شماره ۲ و ۵ به دست آمد. با توجه به این که ردیابی و تغییر ژن‌های مرتبط با صفات فیزیولوژیک از جمله متابولیت‌های ثانویه یکی از راه‌های اصلاح جو است و از طرفی تاکنون گزارشی از مکان‌یابی ژن‌های فوق گزارش نشده است لذا این پژوهش با هدف ردیابی مکان‌های ژنی کنترل‌کننده محتوى متابولیت‌های ثانویه در جو تحت شرایط تنفس شوری طرح‌ریزی شد.

مواد و روش‌ها

اجرای آزمایش و ارزیابی‌های فنوتیپی

به منظور اجرای آزمایش مکان‌یابی صفات مورفوفنولوژیک ژن‌های کنترل‌کننده تحمل به شوری در گیاه جو در مرحله رویشی و زایشی از ۱۰۶ خانواده F8 حاصل از تلاقی دو رقم بادیا × کویر در قالب طرح اگمنت با چهار شاهد استفاده شد.

تنش‌های محیطی از مهم‌ترین عوامل اثربخش بر مقدار متابولیت‌های ثانویه در گیاهان است. این ترکیبات گیاهان را قادر می‌سازند تا عوامل نامساعد محیطی را تحمل کرده و به بقای خود ادامه دهند. شواهد زیادی برای افزایش متابولیت-های ثانویه تحت تنفس شوری بر فعالیت آنزیم‌های Walpolo and Arunakumara, 2017; Ramakrishna and Ravishankar, 2011 آنتی‌اکسیدانت در ده رقم گندم دوروم توسط زبرجدی و همکاران (Zebarjadi et al., 2012) مطالعه شد نتایج این تحقیق نشان داد که میزان فعالیت آنزیم‌های سوبر اکسید دیسموتاز (SOD) و پراکسیداز (POD) تحت تنفس شوری افزایش می‌یابد در حالی که فعالیت کاتالاز (CAT) در مقایسه با شاهد کاهش یافت. بنا به گزارش علی و همکاران (Ali and Abbas, 2003) تنفس شوری علاوه بر کاهش سرعت رشد گیاه جو، باعث زیادشدن ترکیب‌های فنولی، فلاآنونئیدها و افزایش پراکسیداز و ایندول استیک اسید اکسیداز می‌شود. همچنین مقدار آنزیم‌های اکسیدو ردوکتاز مانند کاتالاز اسکوربات پراکسیداز، پراکسیداز گلوتاتیون ریداکتاز و سوپراکسید دیسموتاز، برآثر تنفس شوری در گیاهان افزایش پیدا می‌کند و اغلب بین مقدار آن‌ها و تحمل به شوری رابطه مستقیم وجود دارد (Parida and Das, 2005). استراتژی گیاهان در تحمل در برابر تنفس شوری، تجمع اسمولیت‌ها است (Sairam and Tyagi, 2004). در پژوهشی که به منظور بررسی تأثیر تنفس شوری بر روی فعالیت آنزیم پراکسیداز و میزان قندهای محلول در یونجه انجام شد، گزارش گردید که تنفس شوری باعث افزایش فعالیت آنزیم پراکسیداز و غلظت قندهای محلول می‌شود (Wang and Zhang, 2009).

تحمل به تنفس شوری در گیاهان صفتی پیچیده ژنتیکی و فیزیولوژیکی است. اکثر صفات گیاهی، دارای توارث پیوسته هستند و از شرایط محیطی نیز تأثیر می‌پذیرند (Koyama et al., 2001). شناسایی نشانگرهای کاملاً پیوسته به ژن موردنظر و مکان‌یابی آن‌ها، یک هدف مهم در اصلاح نباتات و گزینش به کمک نشانگر (Marker-aided selection) است (Arif, 2002). مطالعه پیرامون مکان‌یابی (Mapping) و یا نشان‌دار کردن (Tagging) تخمینی را در مورد تعداد ژن‌های کنترل‌کننده صفت و در نقشه لینکاژ محل این ژن‌ها (Linkage map) ارائه می‌دهد.

Kaviani Charati et al., 2016) بذور ۱۰۶ خانواده به همراه والدین تلاقی در گلدان جهت بررسی کشت شدند. ابتدا برای کشت بذور در گلدان‌های ۵ کیلویی در گلخانه قرار داده شد، سپس در گلدان‌ها خاک (با خصوصیات جدول ۱) و با مقدار مساوی ریخته شد و در هر گلدان تعداد ۷ بذر قرار داده شد. سپس مراحل داشت زراعی تا مرحله‌ی زایشی جو انجام شد. ویژگی‌های خاک در جدول ۱ آمده است.

تلاقی مذکور در سال زراعی ۱۳۸۷-۱۳۸۹ در مرکز تحقیقات و آموزش کشاورزی انجام شد. نسل‌های در حال تفرق آن در قالب پروژه‌های مشترک بین سازمان تحقیقات، آموزش و ترویج کشاورزی و دانشگاه گنبدکاووس به صورت پایان‌نامه‌های تحصیلات تکمیلی توسعه یافت. تحقیق حاضر در سال زراعی ۱۳۹۸-۱۳۹۷ در گلخانه تحقیقاتی دانشگاه گنبدکاووس انجام شد. از ویژگی‌های برجسته والد بادیا می‌توان به عملکرد بالاتر در شرایط نرمال، حساسیت و تنش‌های اسمتیک و والد کویر عملکرد پایین‌تر و تحمل به

جدول ۱. ویژگی‌های خاک محل اجرای آزمایش (عمق ۰-۳۰ سانتی‌متر)

Table 1. Soil properties of the experiment site (0-30 cm depth)

Sand ماسه	Silt لای	Clay رس	K پتاسیم	P فسفر	N ازت	Organic carbon کربن آلی	Neutral substances مواد خنثی شونده	pH	EC ds/m
-----%	-----%	-----%	-----ppm	-----	-----%	-----%	-----%	-----	-----
13	58	29	316	11.4	0.09	0.9	9.5	7.6	1.19

جهت اندازه‌گیری محتوی فنول کل، مقدار ۰/۱ گرم از پودر خشک گیاه با ۱۰ میلی‌لیتر اتانول داغ ۸۰ درصد در هاون چینی ساییده شد و سپس مخلوط حاصل با دور کم ۱۰۰۰ به مدت ۱۰ دقیقه سانتریفیوژ گردید. پس از آن مخلوط رویی در بن‌ماری قرار داده تا غلیظ شده و حدود دو میلی‌لیتر از آن برای ادامه آزمایش باقی بماند. سپس یک میلی‌لیتر از محلول تغلیظ شده با کمک آب مقطر به حجم ۵۰ میلی‌لیتر رسانده شد و در مرحله بعدی مجدداً نیم میلی‌لیتر از محلول حاصل با ۲/۵ میلی‌لیتر آب مقطر به حجم سه میلی‌لیتر رسید، سپس روی محلول به دست آمده نیم میلی‌لیتر معروف فولین سیوکالتون ۵۰ درصد اضافه شد و بعد از سه دقیقه، دو میلی‌لیتر کربنات سدیم ۲۰ درصد به آن افزوده گردید. محلول حاصل به مدت ۱۰ دقیقه در حمام آب جوش قرار داده و پس از سرد شدن به‌وسیله دستگاه اسپکتروفوتومتر با مدل Biochrom libera-S 22 در نقطه جذب ۶۵۰ نانومتر خوانده شد. درنهایت، با توجه به منحنی استاندارد گالیک اسید، میزان فنول کل نمونه بر حسب میلی‌گرم بر گرم وزن خشک محاسبه شد (Malick and Singh, 1980).

محتوی آنزیم کاتالاز

برای اندازه‌گیری آنزیم کاتالاز، تهیه عصاره آنزیمی جهت رسیدن به حداقل استخراج آنزیم در برگ‌ها، شرایط

برای اعمال تنش شوری، لاین‌ها تا پایان مرحله رویشی تحت شرایط آبیاری نرمال نگهداری شدند و سپس در مرحله خوشده‌ی با آب شور ۱۶ دسی‌زیمنس بر متر تا حد ظرفیت مزرعه آبیاری شدند. در انتهای دوره پر شدن دانه از هر کدام از لاین‌ها نمونه برگی از برگ پرچم تهیه شد و برخی متابولیت‌های ثانویه به شرح زیر ثبت شدند:

محتوی قند‌های محلول

برای اندازه‌گیری محتوی قند محلول، ۰/۱ گرم از ماده خشک گیاهی برداشته و سپس ۱۰ میلی‌لیتر اتانول ۷۰ درصد به آن اضافه شد و به مدت یک هفته در یخچال نگهداری گردید تا قند‌های محلول آن جدا شود. پس از یک هفته، از محلول رویی نمونه‌ها یک میلی‌لیتر برداشته شد و حجم آن با آب مقطر به دو میلی‌لیتر رسانده شد. پس از اضافه کردن یک میلی‌لیتر فنول ۵ درصد و ۵ میلی‌لیتر اسیدسولفوریک غلیظ، میزان جذب به‌وسیله دستگاه اسپکتروفوتومتر با مدل Biochrom libera-S 22 در طول موج ۴۸۵ نانومتر خوانده شد. میزان قند هر نمونه با استفاده از منحنی استاندارد بر حسب میلی‌گرم بر گرم وزن خشک گلوكز محاسبه شد (Kochert, 1978).

محتوی فنول کل

آنژیمی بر حسب میکرومول پراکسید هیدروژن تجزیه شده در میلی‌گرم پروتئین در دقیقه گزارش شد.

ازریابی‌های ژنتیکی

برنامه حرارتی و دوره‌های زمانی برای تکثیر اختصاصی، با توجه به دمای اتصال آغازگرها، با برنامه دمایی تاج داون (PCR) انجام شد. کمیت و کیفیت DNA نمونه‌ها به ترتیب با اسپکتروفتومتری و الکتروفورز DNA روی ژل آگارز ۰/۸ درصد بررسی شد. واکنش زنجیره‌ای پلی‌مراز به‌وسیله ترموسایکر مدل iCycler BIORAD (ساخت کشور آمریکا) اجرا شد. محصولات PCR بروی ژل اکریل‌آمید ۶ درصد بارگذاری شدند و نهایتاً رنگ‌آمیزی به روش سریع نیترات نقره و NaOH انجام شد. سپس داده‌های مولکولی ثبت و ماتریس ژنتیکی تشکیل شد.

تهیه نقشه ژنتیکی و تجزیه QTL

در این راستا ابتدا چندشکلی والدین با استفاده از ۳۱۲ نشانگر SSR، ۳۰ نشانگر ISSR، ۲۰ نشانگر CAAT، ۱۰ نشانگر IRAP، ۱۰ نشانگر Scot و ۱۰ نشانگر H₂O₂ بررسی شدند. سپس نشانگرهای دارای عدم تفرق مناسب و نشانگرهای غیر پیوسته و گروههای کوچک فاقد نشانگر SSR حذف شدند. نقشه پیوستگی با نشانگرهای دارای نواربندی کاملاً واضح و مطابق با تفرق مندلی (۱۵۲ نشانگر SSR، ۷۷ آلل ISSR، ۷ آلل IRAP، ۲۹ آلل CAAT، ۲۷ آلل Scot و ۱۵ آلل H₂O₂) ترسیم شد.

تهیه نقشه پیوستگی با استفاده از نرم‌افزار Manager (Manly and Olson, 1999) با استفاده از نرم‌افزار QGEN انجام شد. ردیابی مکان‌یابی Composite Interval Mapping، Inclusive Composite Interval Mapping، Single Trait Composite Interval Mapping، ST-penalized و Multiple Interval Mapping likelihood method استفاده شد حد بحرانی جهت تشخیص QTL‌ها با انجام آزمون Permutation به‌دست آمد.

نتایج و بحث

توزیع فنوتیپی صفات

پراکنش ارزش‌های افراد مورد بررسی برای صفات موردمطالعه با نمودار ستونی نشان داد که توزیع فنوتیپی صفات، پیوسته

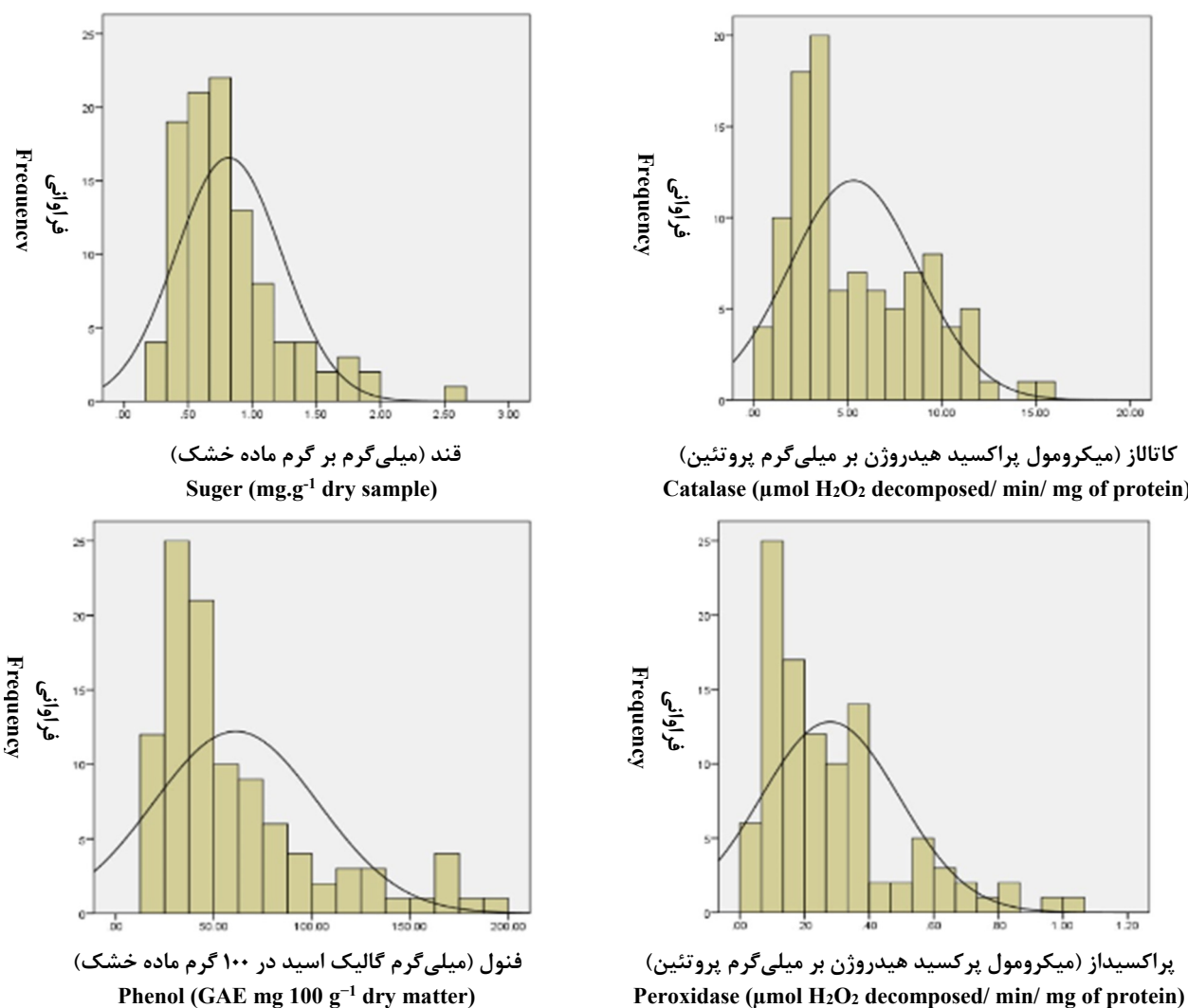
عصاره‌گیری با توجه به مولاریته و pH بافر، استاندارد گردید. تمام مراحل عصاره‌گیری در دمای صفر الی ۴ درجه سانتی‌گراد انجام شد. یک گرم نمونه برگی ابتدا با آب مقطر شستشو و با کاغذ صافی خشک گردید. سپس در هاون چینی با حضور ۲/۵ میلی‌لیتر بافر فسفات پتاسیم سرد (حاوی ۰/۱ میلی‌لیتر اتیلن دی‌امین تترالستیک اسید (EDTA)، ۱ درصد (W/V) پلی‌وینیل پیرولیدون (PVP)، ۰/۵ درصد pH=۷/۸ تریتون X-100 و ۲۰ درصد گلیسرول که در دور ۱۰۰۰۰ به مدت ۱۵ دقیقه و در دمای ۴ درجه سانتی‌گراد تنظیم شده است) له گردید. عصاره حاصل در سانتریفوژ با قرار داده تا محلول همگنی به دست آید. سپس محلول رویی با دقت جدا و به عنوان عصاره آنژیم خام استفاده گردید (Kala, 2015).

فعالیت کاتالاز با توجه به اصلاح روش آبی (Aebi, 1984) برآورد شد. مخلوط واکنش کاتالاز موجود شامل ۲/۵ میلی‌لیتر بافر فسفات ۰/۱ مولار (pH=۷)، ۱۰۰ ماکرولیتر از پراکسیدهیدروژن ۱۰ میلی‌مولار و ۵۰ ماکرولیتر عصاره گیاهی است. واکنش با افروختن H₂O₂ آغاز می‌گردد و فعالیت آنژیم به‌وسیله میزان تخریب H₂O₂ به کمک اسپکتروفتومتر در طول موج ۲۴۰ نانومتر به مدت ۲ دقیقه تعیین گردید. فعالیت آنژیم با استفاده از ضربی خاموشی $4/39\text{mM}^{-1}\text{cm}^{-1}$ برای H₂O₂ محاسبه شد. یک واحد از فعالیت آنژیم به عنوان مقدار آنژیم موردنیاز برای اکسیداسیون یک میکرومول از دقیقه H₂O₂ در شرایط سنجش تعریف می‌شود.

محتوی آنژیم پراکسیداز

به منظور سنجش فعالیت آنژیم پراکسیداز، ۷۸۰ میکرولیتر بافر فسفات پتاسیم ۱ ایاکول میکرولیتر، ۹۰ pH=۶/۶ با میلی‌مولار ۵۰ درصد، ۹۰ میکرولیتر پراکسید هیدروژن ۰/۳ درصد استفاده شد. مواد فوق را در بستر یخ در کوت ۱ میلی‌لیتری با یکدیگر مخلوط و بلا فاصله ۲۰ میکرولیتر عصاره پروتئینی استخراج شده از برگ گرفته شده به کوت اضافه شد (Kelin and Hemeda 1990) را با تغییرات جذب در طول موج ۴۷۰ نانومتر در یک دقیقه با استفاده از دستگاه اسپکتروفتومتر با مدل S22-libera Biochrom خوانده شد. در محلول بلانک بجای عصاره آنژیمی بافر فسفات ۵۰ میلی‌مولار استفاده شد. فعالیت آنژیم با استفاده از قانون بیر-لامبرت و ضربی خاموشی محصول کاتالیز ۱-گایاکول پراکسیداز (۶/۲۶ Mcm) محاسبه شد. سپس فعالیت

است (شکل ۱). والد کویر از نظر محتوی قند، پراکسیداز، کاتالاز و محتوای فنول ارزش بیشتری نسبت به بادیا داشت.



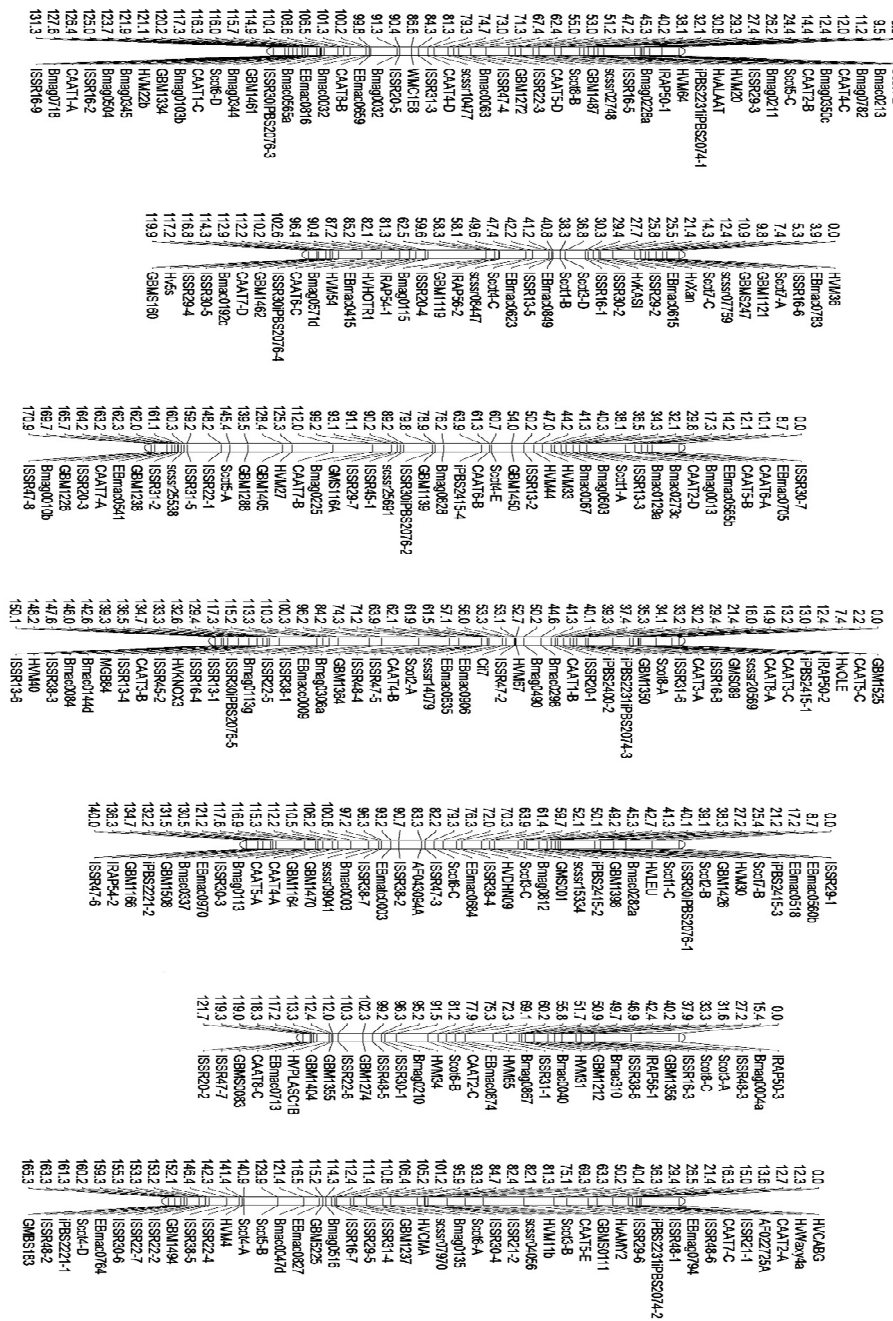
شکل ۱. نمودار ستونی برای صفات مورد بررسی در ۱۰۶ لاین حاصل از تلاقی بادیا و کویر تحت تنفس شور
Fig. 1. Histogram for traits studied in 106 lines derived from cross between Badia and Kavir under salinity stress

Khalili and Mohammadian (2015) نیز نقشه ژنتیکی جو را با استفاده از ۱۷۰ نشانگر SSR و ۷ نشانگر LTR و ۲۸ نشانگر IRAP و ۶۳ نشانگر ISSR در جمعیت YecoraROJO× NO49 تهیه نمودند. از کل ترکیبات مورد ارزیابی ۹۱ ترکیب (۲۰ ترکیب آغازگری بین والدین چند شکل بودند. براتی و همکاران (Barati et al., 2013) نیز از نشانگرهای SSR و AFLP جهت تهیه نقشه پیوستگی برای کروموزوم در جو استفاده نمودند. برای کلیه صفات اندازه-گیری شده از جمعیت لاین‌های نوترکیب، دو QTL روی

تهیه نقشه پیوستگی نقشه پیوستگی با استفاده از ۱۵۲ نشانگر SSR، ۷۲ آلل ISSR، ۷ آلل IRAP، 29 آلل CAAT، 27 آلل Scot و ۱۵ آلل iPBS تهیه شد. نشانگرهای مولکولی استفاده شده به ۷ گروه پیوستگی مطابق ۷ کروموزوم جو جایابی شدند. کروموزومهای ۱ تا ۷ به ترتیب دارای ۵۰، ۴۹، ۴۴، ۴۲، ۴۹، ۳۹، ۳۹، ۴۴، ۴۲، ۴۹، ۳۹ و ۴۵ شدند. طول کروموزومهای مذکور به ترتیب ۱۳۱/۳، ۱۱۹/۹، ۱۷۰/۹، ۱۵۰/۱، ۱۴۰/۰، ۱۲۱/۷ و ۱۶۵/۳ سانتی-متر گان برآورد شد.

گروههای پیوستگی شماره ۲ و ۵ به دست آمد. شاهین نیا و همکاران (Shahinian et al., 2014) نقشه پیوستگی با ۱۰۰ نشانگر مولکولی (AFLP، 34 نشانگر STS، 2

Nakate GOLd و Azumamugi) در جمعیت Kanto نشانگر ایزوژایم و ۲ نشانگر مورفولوژیک) در جمعیت



شکل ۲. نقشه پیوستگی حاصل از ۱۵۲ نشانگر SSR، ۷۲ آلل iPBS، ۷ آلل CAAT، ۲۹ آلل IRAP، ۲۷ آلل Scot و ۱۵ آلل iPBS لاین‌های نوترکیب بادیا × کویر.

Fig. 2. Linkage map in barley RIL population caused Badia × Kavir crosses using 152 SSR, 72 iPBS, 7 CAAT, 27 Scot and 15 IRAP alleles

افزایش مقدار قند بوده که از خانواده کویر به نتاج منتقل شدند.

مقدار فنول در این روش با پنج QTL که روی کروموزوم‌های ۱، ۲، ۴ و ۷ شناسایی شد که به ترتیب دارای LOD های ۵/۳۶۹، ۵/۳۶۹، ۵/۳۶۹، ۵/۳۶۹، ۵/۳۶۹ در موقعیت‌های ۱۱۸، ۱۰۲ و ۱۴۴ سانتی‌مورگان بین iPBS2231iPBS2074-1- HVM64 CAAT6-C- ISSR30iPBS2076-4 CAAT1-B- Bmac0298 ISSR13-1- ISSR16-4 ISSR22-4- ISSR38-5 قرار دارد. اثر افزایشی در کروموزوم‌ها، در جهت افزایش مقدار فنول بوده که آلل‌های ۴۴/۷۵۲ در کروموزوم ۴ در جهت افزایش مقدار فنول بوده که آلل‌های افزایش‌دهنده از والد کویر به نتاج منتقل شد. در کروموزوم ۲، اثر افزایشی ۴۵/۹۷۸ در جهت کاهش مقدار فنول بوده و از والد بادیا به نتاج منتقل شد. در کروموزوم ۴ در دو موقعیت اثر افزایشی به ترتیب ۴۴/۸۱۱ و ۴۷/۳۴۷ هر دو جهت افزایش بوده که آلل‌های افزایش‌دهنده از والد کویر به نتاج منتقل شدند. در کروموزوم هفت هم اثر افزایشی ۴۴/۲۸۹ در جهت افزایش بوده؛ که این آلل‌ها از خانواده کویر به نتاج منتقل شد. برای مقدار پروکسیداز در این روش، هشت QTL که روی کروموزوم‌های ۱، ۳ (سه مورد)، ۴ (دو مورد)، ۵ و ۷، به ترتیب دارای LOD های ۵/۰۳۷، ۳/۵۷، ۳/۵۶۵، ۴/۹۰۲، ۳/۵۶۵، ۴/۹۰۲، ۵/۱۸۳ و ۵/۱۸۳ در موقعیت‌های ۱۵۰، ۶۶، ۴۴، ۸۲، ۱۱۸، ۲۶ و ۷۶ سانتی‌مورگان در فاصله‌های نشانگری CAAT4-D- ISSR31-3 Bmac0067- HVM33 iPBS2415-4-Bmag0828 ISSR22-1-ISSR31-5 EBmac0635-scrr14079 ISSR13-1 -ISSR16-4 Scot7-B-HVM30 Scot3-B- HVM11b اثر افزایشی در کروموزوم ۱، ۰/۲۴ در جهت افزایش بوده که آلل‌های افزایش‌دهنده از والد کویر به نتاج منتقل می‌شود در کروموزوم ۳ با سه موقعیت در موقعیت اول اثر افزایشی ۰/۸۴ در جهت کاهش بوده و از والد بادیا به نتاج منتقل شد. در موقعیت دو و سه اثر افزایشی به ترتیب ۰/۲۴۳ و ۰/۲۳۹ در جهت افزایش بوده که آلل‌های افزایش‌دهنده از والد کویر به نتاج منتقل شد. در کروموزوم ۴ با دو موقعیت اولی با اثر افزایشی ۰/۰۸۲ در جهت کاهش بوده که آلل‌های از والد بادیا به نتاج منتقل شد در موقعیت دوم کروموزوم ۴ و کروموزوم ۵ و ۷ به ترتیب با اثر افزایشی ۰/۲۳۶، ۰/۲۴۴ و ۰/۲۳۸ در جهت افزایش بوده که آلل‌های افزایش‌دهنده از والد کویر به نتاج منتقل شد.

مکانیابی با روش‌های Composite Interval Mapping و Inclusive Composite Interval Mapping

برای مقدار قند یک QTL روی کروموزوم ۱ ردیابی شد که با داشتن LOD ۲/۸۰۸ در موقعیت ۲۶ سانتی‌مورگان بین نشانگرها scot5 bmaq0211 و در جهت افزایش مقدار قند بود و آلل‌های ۱۶۱/۰ افزایش‌دهنده آن از والد کویر به نتاج منتقل شد.

برای مقدار فنول در این روش‌ها، یک QTL، روی کروموزوم ۱ ردیابی شد که دارای LOD ۲/۷۹۲ در موقعیت ۱۲۶ سانتی‌مورگان بین نشانگرها (ISSR16-2-CAAT1-(A) قرار داشت. اثر افزایشی این ۵۲/۷۳۸- جهت کاهش مقدار فنول بوده که آلل‌های کاهش‌دهنده از والد بادیا به نتاج منتقل شد.

برای QTL‌های مقدار پروکسیداز در این روش‌ها، دو QTL، روی کروموزوم‌های ۳ و ۴ ردیابی شد که به ترتیب دارای LOD ۳/۳۵ و ۳/۳۳۳ در موقعیت‌های ۴۴ و ۶۰ سانتی‌مورگان بین نشانگرها (Bmac0067-HVM33) و Bmac0067-HVM33 (Ebmac0635-SCsr14079) و ۰/۹۶- جهت کاهش آن بود و آلل‌های کاهش‌دهنده از والد بادیا به نتاج منتقل شد

مکانیابی با روش Single Trait Multiple Interval Mapping

مقدار قند در این روش با شش QTL که روی کروموزوم‌های ۱، ۲، ۴، ۵ و ۷ شناسایی شد که به ترتیب دارای LOD های ۴/۲۵۹ و ۲/۵۲۶ در موقعیت‌های ۱۳۲، ۱۱۸، ۳۲، ۶، ۱۴ و ۷۶ سانتی‌مورگان در فاصله‌های نشانگری ۳/۳۲۳، ۲/۶۸۲، ۵/۰۵۴، ۴/۶۲۲، ۳/۳۲۳ و Bmag0350c-CAATc ISSR16-6- Scot7-A ISSR16-1- Scot3-D ISSR13-1- ISSR16-4 GBM1508- iPBS2221-2 Scot3-B- HVM11b قرار داشتند. اثر افزایشی در کروموزوم ۱، ۰/۴۸ در جهت افزایش آن بوده که آلل‌های افزایش‌دهنده از والد کویر به نتاج منتقل شد، در کروموزوم ۲ با دو موقعیت اثر افزایشی در موقعیت اول ۰/۴۵۱ در جهت افزایش مقدار قند بوده که این آلل‌ها از والد کویر به نتاج منتقل شد و در موقعیت دوم کروموزوم ۲ اثر افزایشی ۰/۴۵۶ در جهت کاهش مقدار قند بوده که از والد بادیا به نتاج منتقل شد. کروموزوم‌های ۴، ۵ و ۷ به ترتیب با اثر افزایشی ۰/۴۸۹، ۰/۴۶۵ و ۰/۴۹۱ در جهت

برابر با ۲/۸۶۸ در موقعیت ۲۶/۲ رديابی شد. QTL مذکور با نشانگر Bmag0211 پیوسته بود و دارای اثر افزایشی ۰/۱۱۷ در جهت افزایش مقدار قند بود. آلل افزایش‌دهنده آن از والد کویر به نتاج منتقل شد.

مکانیابی با روش ST-penalized likelihood

به طور کلی چهار QTL در این روش مکانیابی شد. برای مقدار قند در این روش، یک QTL روی کروموزوم ۱ با مقدار LOD

جدول ۲. QTL‌های رديابی شده صفات محتوی قند، فنول، کاتالاز و پراکسیداز در جمعیت لاین‌های نوترکیب حاصل از تلاقی کویر و بادیا
Table 2. QTLs Detected for Traits Containing Sugar, Phenol, Catalase and Peroxidase in a Population of Recombinant Lines from Kavir and Badia Cross

صفت جهت		آل Traits	QTL	کروموزوم Chr	موقعیت Position	مارکر Flanking markers	اثر افزایشی Add effect	R ²	جهت آلل Allele direction
Composite Interval Mapping									
Suger	qSUG-1	1	26	Scot5-Bmaq0211	2.808	0.161	11.80	Kavir	
Phenol	qPHE-1	1	126	ISSR16-2-CAAT1-A	2.792	-52.738	11.7	Badia	
Peroxidas	qPER-3	3	44	Bmac0067-HVM33	3.35	-0.85	13.9	Kavir	
	qPER-4	4	60	Ebmac0635-Sessr14079	3.333	-0.96	13.8	Kavir	
Inclusive Composite Interval Mapping									
Suger	qSUG-1	1	26	Scot5-Bmaq0211	2.808	0.161	11.80	Kavir	
Phenol	qPHE-1	1	126	ISSR16-2-CAAT1-A	2.792	-52.738	11.7	Badia	
Peroxidas	qPER-3	3	44	Bmac0067-HVM33	3.35	-0.85	13.9	Kavir	
	qPER-4	4	60	Ebmac0635-Sessr14079	3.333	-0.96	13.8	Kavir	
Single Trait Multiple Interval Mapping									
Suger	qSUG-1	1	14	Bmag0350c-CAATc	2.682	0.48	11.3	Kavir	
	qSUG2-a	2	6	ISSR16-6-Scot7-A	3.323	0.451	13.8	Kavir	
	qSUG2-b	2	32	ISSR16-1-Scot3-D	4.622	-0.456	18.7	Badia	
	qSUG-4	4	118	ISSR13-1-ISSR16-4	5.045	.489	20.2	Kavir	
	qSUG-5	5	132	GBM1508-iPBS2221-2	2.526	0.465	10.7	Kavir	
	qSUG-7	7	76	Scot3-B-HVM11b	4.259	0.491	17.3	Kavir	
Phenol	qPHE-1	1	34	iPBS2231iPBS2074-1-HVM64	5.369	44.752	21.3	Kavir	
	qPHE-2	2	102	CAAT6-C-ISSR30iPBS2076-4	7.704	-45.978	29.1	Badia	
	qPHE-4a	4	42	CAAT1-B-Bmac0298	2.544	44.811	10.8	Kavir	
	qPHE-4b	4	118	ISSR13-1-ISSR16-4	4.631	47.347	18.7	Kavir	
	qPHE-7	7	144	ISSR22-4-ISSR38-5	7.454	44.289	28.3	Kavir	
	qPER-1	1	82	CAAT4-D-ISSR31-3	5.037	0.24	20.2	Kavir	
Peroxidas	qPER-3a	3	44	Bmac0067-HVM33	3.57	-0.84	14.8	Badia	
	qPER-3b	3	66	iPBS2415-4-Bmag0828	4.902	0.243	19.7	Kavir	
	qPER-3c	3	150	ISSR22-1-ISSR31-5	3.565	0.239	14.7	Kavir	
	qPER-4a	4	60	EBmac0635-scrr14079	2.718	-0.082	11.4	Badia	
	qPER-4b	4	118	ISSR13-1-ISSR16-4	6.399	0.236	24.9	Kavir	
	qPER-5	5	26	Scot7-B-HVM30	6.443	0.244	25	Kavir	
	qPER-7	7	76	Scot3-B-HVM11b	5.183	0.238	20.7	Kavir	
ST-penalized likelihood method									
Suger	qSUG-1	1	26.2	Bmag0211	2.868	0.117	12	Kavir	
Catala	qCAT-2	2	58.1	IRAP56-2	3.608	1.144	14.9	Kavir	
Proxidaz	qPER-3	3	44.2	HVM33	3.468	0.071	14.4	Kavir	
phenol	qPEO-2	2	102.5	ISSR30iPBS2076-4	3.05	-18.519	12.7	Badia	

داشت. نشانگر ۲ IRAP56-2 با اثر افزایشی ۱/۱۴۴ و در جهت افزایش مقدار کاتالاز با QTL مذکور پیوسته بود و آلل آن از

برای مقدار کاتالاز نیز یک QTL روی کروموزوم ۲ رديابی شد. این QTL دارای LOD ۳/۶۰۸ و در موقعیت ۵۸/۱ قرار

سطح مهار انواع فعال اکسیژن (Reactive Oxygen Species) نظیر پراکسید هیدروژن، سوپراکسید و هیدروکسی که به عنوان رادیکال‌های آزاد می‌باشند. اصولاً تولید ترکیبات فنولی و آنتی‌اکسیدانی در گیاهان بخشی از دفاع شیمیایی گیاه است که تحت کنترل عوامل محیطی و ژنتیکی قرار دارد. ترکیبات فنولی به دلیل دارا بودن گروه‌های هیدروکسیل در محیط واکنش و احتمال اهداء آن‌ها به رادیکال‌های آزاد موجب افزایش قدرت مهار کنندگی فنول را افزایش می‌دهد. بررسی‌ها نشان داد که میزان فنول‌های کل آنتی‌اکسیدانی در نظر گرفته شود (Teow et al., 2007).

همچنین افزایش فعالیت کاتالاز نشان‌دهنده مهار کارآمد پراکسید هیدروژن است (Afshar Mohammadian et al., 2016). رابطه مستقیم فعالیت آنتی‌اکسیدانی با میزان ترکیبات فنولی در مطالعات متعددی از جمله کمالی و همکاران (Kamali et al., 2015) در گیاه (Deracocephalum Jorjani et al., 2016) و جرجانی و همکاران (Chelidonium majus L.) گزارش شده است.

از بین QTL‌های شناسایی شده qSUG-4 (قند روی کروموزوم ۴) با ضریب تبیین ۲۰/۲ و QT-L-های qPHE-1 (محتوی فنول روی کروموزوم‌های ۱ و ۲) به ترتیب با ضریب تبیین ۲۱/۳ و ۲۹/۱، qPER-4b، qPER-1 و qPER-7 (پراکسیداز روی کروموزوم‌های ۱، ۴، ۵ و ۷) پس از تائید اعتبار و درصد توجیه زیاد، جهت برنامه‌های اصلاحی انتخاب با استفاده از نشانگر در جمعیت لاین‌های نوترکیب جو، مناسب خواهند بود.

والد کویر به نتاج منتقل شد. برای مقدار پروکسیداز، یک QTL روی کروموزوم ۳ با LOD ۴۶/۴۳ در موقعیت ۴۴/۲ با نشانگر HVM33 با اثر افزایشی ۰/۰۷۱ ردیابی شد. این QTL در جهت افزایش صفت عمل نمود و آلل افزایش‌دهنده آن از والد کویر به نتاج منتقل شد. برای مقدار فنول در این روش، یک QTL روی کروموزوم ۲ با LOD ۵/۰ پیوسته به نشانگر ۴-BS2076-ISSR30ip با اثر QTL ISSR30ipBS2076-۴ در جهت کاهش مقدار پروکسیداز عمل افزایشی ۱۸/۵۱۹ نمود و آلل‌های کاهش‌دهنده آن از والد بادیا به نتاج منتقل شد.

نتیجه‌گیری نهایی

از بین چهار روش مختلف بررسی شده، در ناحیه‌ای از کروموزوم ۱ در موقعیت ۲۶ سانتی‌مورگان و در مجاورت نشانگر Bmaq0211 برای مقدار قند با سه روش CIM، STPLME و ICIM قرار داشت. همچنین در هر چهار روش مکان‌یابی برای مقدار پروکسیداز در موقعیت ۴۴ سانتی‌مورگان با نشانگر Bmac0067-HVM33 مکان‌های ژنی روی کروموزوم ۳ شناسایی شد.

در روش SMIM در موقعیت ۱۱۸ بین نشانگر-ISSR13-1-ISSR16-4 برای مقدار قند، فنول، پروکسیداز یک مکان ژنی روی کروموزوم ۴ شناسایی شد. هم‌مکانی برای -QTL های کنترل کننده مقدار قند، فنول و پروکسیداز را می‌توان به درگیر بودن آن‌ها در مکانیسم تحمل به تنش گیاه باشد. افزایش میزان ترکیبات فنولیک و فعالیت آنتی‌اکسیدانی کاتالاز و پراکسیداز در جو تحت تنش شوری نشان‌دهنده

منابع

- Aebi, H., 1984. Catalase in vitro. *Methods Enzymology*. 105, 121–126.
- Ali, R.M., Abbas, H.M., 2003. Response of salt stressed barley seedlings to phenylurea. *Plant, Soil and Environment*. 49, 158–162.
- Ahmadi, K., Ebadzadeh, H. R., Hatami, F., Abdshah, H., Kazemian, A. 2019. Agriculture statistics. Ministry of Jihad Agriculture, Deputy of Planning and Economy, Information and Communication Technology Center. 251 pp.
- Arif, M., 2002. Molecular mapping of genes QTLs affecting resistance to *Xanthomonas Oryzae* pv. *Oryzae* and grain quality traits in rice (*Oryza sativa* L.). PhD thesis. University of Philippines in Los Banos. Philippines.
- Barati, M., Amiri, R., Ebrahimi, M., Naghavi, M., Nikkhah, H., Soltanloo, H., Yousefi Rad S., Ramadanpour, Q., 2013. QTL mapping for yield and yield components in *Hordeum vulgare*. *Modern Genetics*. 8, 321-328. [In Persian with English Summary].

- FAO. 2008. Food and Agriculture Organization of the United Nations. The State of Food and Agriculture. BIOFUELS: prospects, risks and opportunities. Rome. <http://www.fao.org/3/i0100e/i0100e00.htm>.
- Hemed, H.M., Kelin, B.P., 1990. Effects of naturally occurring antioxidants on peroxidase activity of vegetables extracts. *Journal of Food Science*. 55, 184-185
- Jafari, H., Ansari, M.N., Ebrahimi, M.A., Taheri, M., Dorostkar, A., 2013. Analysis of quantitative loci involved in production of enzymes conferring salt tolerance in barely (*Hordeum vulgare* L.). *Crop Biotechnology Journal*. 5, 117-127. [In Persian with English Summary].
- Jorjani, A., Niakan, M., Gholamalipour Alamdar, E., 2016. Evaluation of antioxidant activity, secondary metabolites and osmolytes of aerial parts and root organs of *Chelidonium majus* L. in various phonological stages. *Journal of Plant Environmental Physiology*. 13, 51-66. [In Persian with English Summary].
- Kala, S., 2015. Effect of NaCl salt stress on antioxidant enzymes of isabgol (*Plantago ovata* forsk.) genotypes. *International Journal of Scientific and Technology Research*. 4, 2277-8616.
- Kamali, M., Khosroyar, S., Jalilvand, M., 2015. Evaluation of phenols, flavonoids, thocyanins and antioxidant capacity of different extracts of the aerial parts of medicinal plant *Dracocephalum kotschy*i. *Journal of North Khorasan University of Medical Sciences*. 6, 627-634. [In Persian with English Summary].
- Kaviani Charati, A., Sabouri, H., Fallahi H.A., Jorjani E., 2016. QTL Mapping of Spike Characteristics in Barley using F3 and F4 Families Derived from Badia × Komino Cross. *Plant Genetic Journal*. 3, 13-28. [In Persian with English Summary].
- Khalili, M., Mohammadian, R., 2015. Identifying QTL associated with salinity tolerance in early stages of barley germination. *Journal of Crop Biotechnology*. 5 (13), 41-55. [In Persian with English Summary].
- Kochert, G., 1978. Carbohydrate determination by the phenol sulfuric acid method. In: Helebust, J.A., Craigie J.S. (eds.), *Hand book of Physiological Methods*. Cambridge University Press, Cambridge. pp: 96-97.
- Koyama, M.L., Levesley, A., Koebner, R.M.D., Flowers T.J., Yeo. A.R., 2001. Quantitative trait loci for component physiological traits determining salt tolerance in rice. *Plant Physiology*. 125, 406-422.
- Malick, C.P., Singh, M.B., 1980. In *Plant Enzymology and Histo Enzymology*, Kalyani Publishers, New Dehli.
- Manly, K.F., Olson, J.M., 1999. Overview of QTL mapping software and introduction to map manager QTL. *Mammalian Genome*, 10, 327-334.
- Mohammadian, M.A., Ghanati, F., Ahmadyani, S., Zamani, K.S., 2016. Effect of drought stress on activity antioxidant enzymes and content of soluble sugar in *Mentha pulegium* L. *Nova Biologica Reperta*. 3, 228-237.
- Parida, A.K., Das, A.B. 2005. Salt tolerance and salinity effects on plant a review. *Ecotoxicology and Environmental Safety*. 60, 324-349.
- Ramakrishna, A., Ravishankar G.A., 2011. Influence of abiotic stress signals on secondary metabolites in plants. *Journal of Plant Signaling and Behavior*. 6, 1720-1731.
- Sairam, p. K., And Tyagi, A. 2004. Physiology and molecular biology of salinity stress tolerance in plants. A review. *Current Science*. 68, 407-421.
- Shahinia, F., Rezai, A., Tabatabai, B., Mohammadi, S., 2014. QTL Mapping of Yield and Yield Components in Barley Lines. *Journal of Seed and Plant Improvement*. 1-30, 85-101. [In Persian with English Summary].
- Teow, C.C., Troung, V.D., McFeeters, R.F., Thompson, R.L., Pecota, K.V., Yencho, G.C., 2007. Antioxidant activities, phenolic and β-carotene contents of sweet potato genotypes with varying flesh colors. *Food Chemistry Journal*. 103, 829-838.
- Walpola, B.C., Arunakumara, K.K., 2017. Effect of salt stress on decomposition of organic matter and nitrogen mineralization in animal manure amended soils. *Journal of Agricultural Science*. 5, 9-18.
- Wang, Y.X., Zhang, B., 2009. Effects of salt stress in enzyme activity and soluble sugar content of alfalfa. *Chinese Journal of Xinjiang Agricultural sciences*. 45, 589-591.
- Zebardadi, A.R., Mirany, T., Kahrizi, D., Ghobadi, M., Nikoserest, N., 2012.

Assessment of drought tolerance in some bread wheat genotypes using drought resistance indices. *Biharean Biologist.* 6, 94-98

Zhu, J.K., 2001. Plant salt tolerance. *Trends in Plant Science.* 6, 66-77.